



## بررسی اثر پیش عملیات مکانیکی اغتشاش اصطکاکی بر آسیب نرم وابسته به حالت تنش در آلیاژ آلومنیوم 7075-T6

مجید علی طاولی<sup>۱\*</sup>, سینا گوهری راد<sup>۲</sup>, اصغر زاجکانی<sup>۳</sup>, ابوالفضل درویزه<sup>۴</sup>

- ۱- دانشیار، مهندسی مکانیک، دانشگاه گیلان، رشت
- ۲- دانشجوی دکتری، مهندسی مکانیک، دانشگاه گیلان، رشت
- ۳- استادیار، مهندسی مکانیک، دانشگاه بین المللی امام خمینی، قزوین
- ۴- استاد، مهندسی مکانیک، دانشگاه گیلان، رشت
- \*رشت، صندوق پستی ۴۱۶۳۵-۳۷۵۶ tavoli@guilan.ac.ir

### چکیده

در این مقاله اثر پیش عملیات اغتشاش اصطکاکی بر روند تکامل آسیب در آلومنیوم 7075-T6 با استفاده از یک مدل پدیدارشناختی آسیب وابسته به حالت تنش بررسی می شود. قطعاتی از ورق این آلیاژ در حالت های بدون و با پیش عملیات اغتشاش اصطکاکی استخراج می گردند به گونه ای که هر یک میان یک حالت تنش در آزمایش کشش تک محوره است. با استفاده از نتایج آزمایشگاهی ضرایب مادی برای مدل های مختلف آغاز شکست ژو و هاسفورد-کلومب تعیین می شوند و سطح شکست بر حسب پارامترهای حالت تنش برای شرایط بدون و با پیش عملیات اغتشاش اصطکاکی با استفاده از هر کدام از این دو مدل بدست می آیند. به کمک این سطوح می توان کرنش شکست را در حالت های مختلف تنش و در شرایط بدون و با پیش عملیات اغتشاش اصطکاکی برای این ماده بدست آورد. یک مدل پدیدارشناختی آسیب وابسته به حالت تنش و رشد آن برای شرایط مختلف بدون و با پیش عملیات اغتشاش اصطکاکی برای ماده مذکور مورد بررسی قرار می گیرد. نتایج آزمایش ها نشان دهنده افزایش کرنش پلاستیک ماده در نتیجه اثرات پیش عملیات اغتشاش اصطکاکی و مدل آسیب نشان دهنده کاهش فرآیند رشد آسیب نرم بر اثر این پیش عملیات است. با مقایسه نتایج مدل آسیب از دو مدل آغاز شکست مختلف ژو و هاسفورد-کلومب نتیجه گرفته می شود که مدل ژو نتایج بهتری را در مقایسه با مدل هاسفورد-کلومب نشان می دهد و از این مدل می توان با قابلیت اعتماد بیشتری در پیش بینی رشد آسیب در این ماده استفاده کرد و سطح شکست به دست آمده از این مدل سازگاری بهتری با نتایج آزمایشگاهی دارد.

### اطلاعات مقاله

- |                           |
|---------------------------|
| مقاله پژوهشی کامل         |
| دریافت: ۲۵ مهر ۱۳۹۵       |
| پذیرش: ۲۶ آذر ۱۳۹۵        |
| ارائه در سایت: ۲۹ دی ۱۳۹۵ |

- |                       |
|-----------------------|
| کلید واژگان:          |
| آسیب نرم پدیدارشناختی |
| پیش عملیات مکانیکی    |
| اغتشاش اصطکاکی        |
| مدل ژو                |
| مدل هاسفورد-کلومب     |

## Influence of Pre-Mechanical Friction Stir Processing on Stress State Dependent Ductile Damage of 7075-T6 Aluminum Alloy

Majid Alitavoli<sup>۱\*</sup>, Sina Gohari Rad<sup>۱</sup>, Asghar Zajkani<sup>۲</sup>, Abolfazl Darvizeh<sup>۱</sup>

1- Department of Mechanical Engineering, University of Guilan, Rasht, Iran

2- Department of Mechanical Engineering, Imam Khomeini International University, Qazvin, Iran

\* P.O.B. 41635-3756, Rasht, Iran, tavoli@guilan.ac.ir

### ARTICLE INFORMATION

Original Research Paper

Received 16 October 2016

Accepted 16 December 2016

Available Online 18 January 2017

**Keywords:**

Phenomenological ductile damage  
Pre-Mechanical Working  
friction stir  
Xue model  
Hosford-Coulomb Model

### ABSTRACT

In this paper, the effects of friction stir pre-mechanical processing on damage evolution of 7075-T6 aluminum alloy has been investigated by implementation of stress state dependent damage model which is described in a phenomenological way. In this regards, a series of specimens with specific geometry were designed from sheet with and without friction stir pre-mechanical processing. Each of these specimens represents a particular stress state at fracture location in uniaxial tensile test. Material parameters for two different fracture initiation models, Xue and Hosford-Coulomb, are determined using experimental results. Based on these models, plastic strain to fracture surface at stress state parameters are determined with and without pre-mechanical friction stir conditions. The obtained fracture surfaces can be used to specify strain plastic to fracture for any given stress state for this material. Moreover, a phenomenological stress state dependent damage model and its evolution were investigated for this material with and without friction stir pre-mechanical processing condition using these models. The experimental results showed an increase in plastic strain of the material due to pre-mechanical friction stir processing, while damage model showed a decrease in evolution of ductile damage due to this pre-mechanical processing. Comparing the damage results obtained from two different fracture initiations, it was shown that Xue fracture initiations model leads to more reasonable results than Hosford-Coulomb model. Therefore Xue model yields more reliability in predicting evolution of internal damage for this material. Besides, this model fracture surface is in good agreement with the conducted experimental results.

Please cite this article using:

M. Alitavoli, S. Gohari Rad, A. Zajkani, A. Darvizeh, Influence of Pre-Mechanical Friction Stir Processing on Stress State Dependent Ductile Damage of 7075-T6 Aluminum Alloy, *Modares Mechanical Engineering*, Vol. 17, No. 1, pp. 365-374, 2017 (in Persian)

برای ارجاع به این مقاله از عبارت ذیل استفاده نمایید:

**1- مقدمه**

توجه شده است. بسیار مهم است که وابستگی آسیب به حالت تنفس و همچنین اثر پیش عملیات مکانیکی در مواد فلزی شناخته شود تا بتوان از چگونگی تغییر در ریزاساختار و اثرات آن بر استحکام ماده و تغییرات بر آسیب و رشد آن در تغییر شکل‌های پلاستیک ماده پس از انجام عملیات مکانیکی بر ماده مطلع شد. فرآیند اغتشاش اصطکاکی<sup>۱</sup> یکی از این پیش عملیات‌های مکانیکی است. نیلسن گسترش آسیب نرم در یک اتصال آلومینیوم به آلومینیوم روش جوش کاری اصطکاکی را به روش المان محدود تحلیل کرده و تمرکز اصلی کار خود را بر گسترش آسیب و محل شکست نهایی قرار داده است [6]. ایشان نشان داد که گسترش آسیب به شدت تحت تأثیر تغییرات پروفایل تنفس تسليم است. نیلسن و تورگارد مقاومت در برابر واماندگی نرم را برای یک صفحه آلومینیومی جوش کاری شده به روش اغتشاش اصطکاکی با تجزیه و تحلیل آزمایش کشش بر قطعات بریده شده از میان خط جوش مورد مطالعه قرار دادند [7]. آن‌ها به دلیل کم بودن مقدار تنفس سه محوره از مدل اصلاح شده گارسون استفاده کردند که در آن عبارت اضافی در قاعده سیر تکاملی آسیب<sup>۲</sup> به آن‌ها اجازه پیش‌بینی رخداد واماندگی در مقادیر صفر و یا منفی از تنفس متوسط را می‌داد. آن‌ها دریافتند که این بهینه‌سازی گسترش آسیب اضافی را در جوش کاری اغتشاش اصطکاکی فراهم می‌آورد که ممکن است سبب هم‌خوانی با مقادیر آزمایشگاهی شود، اما این بهینه‌سازی پیشنهادی در مجموع به شدت به حالت تنفس وابسته است و در مواردی که تنفس سه محوره بسیار است اثر زیادی بر مدل دارد. با این حال می‌توان استفاده از مدل گارسون در این تحقیق و عدم وابستگی آن به زاویه لود را از ضعف‌های این مطالعه بیان کرد.

سان و همکارانش نیز شبیه‌سازی خواص کششی آلیاژ آلومینیوم و مس را که به روش جوش کاری اغتشاش اصطکاکی به یکدیگر متصل شده بودند، به وسیله مدل آسیب گارسون-تورگارد-نیدلمن پیاده‌سازی کردند [8]. آن‌ها پارامترهای مدل آسیب را به روش معکوس شناسایی کردند و براساس این ذرات بین فلزی به وسیله فرآیند اغتشاش اصطکاکی کاهش یافته، حفره‌زایی<sup>۳</sup> به تأخیر افتاده و از بین رفتن تخلخل اولیه و همگنسازی نیز تأیید کرد که این فلزی نیز مشاهده شده است. نتایج آزمایش کشش نیز تأیید کرد که این تغییرات در ریزاساختار سبب بهبود کرنش شکست شده است. تحقیقات صورت گرفته در زمینه آسیب بیشتر از دیدگاه میکروسکوپی بوده و بیشتر حالت تنفس نیز در آن‌ها به صورت کامل در نظر گرفته نشده است، همچنین در هیچ یک از تحقیقات گذشته اثر یک پیش عملیات مکانیکی بر روند رشد آسیب نرم در ماده برسی نشده است. در این تحقیق به برسی اثرات پیش عملیات فرآیند اغتشاش اصطکاکی و اثر حالت تنفس بر آسیب نرم در آلیاژ آلومینیوم 7075-T6 و پیش‌بینی کرنش پلاستیک منجر به شکست در حالت تنفس‌های مختلف براساس دو مدل شکست مختلف پرداخته می‌شود. بدین منظور ابتدا با انجام آزمایش‌های تجربی کشش تکمحوره بر قطعات

در سال‌های اخیر اهمیت پیش‌بینی آسیب نرم<sup>۴</sup> در فلزات در بسیاری از کاربردهای صنعتی افزایش یافته است. آسیب داخلی می‌تواند به صورت وجود و رشد ترک‌ها و حفره‌ها در سطح میکروسکوپی تعریف شود که سرانجام منتهی به از دست دادن کامل ظرفیت تحمل بار یا همان واماندگی<sup>۵</sup> در مواد می‌شود. عبارت واماندگی نرم<sup>۶</sup> به صورت مبهم در کارهای گذشته و بیشتر با دو معنی استفاده شده است. در تحقیقات میکرومکانیکی بیشتر به عنوان نوع واماندگی در نتیجه حفره‌زایی، رشد و بهم آمیختگی حفره‌ها در درون ماده استفاده شده است. از سوی دیگر این مفهوم برای کاربردهایی در ابعاد بزرگ‌تر به تغییر شکل‌های بزرگ مواد که پیش از واماندگی رخ می‌دهد اشاره دارد. در این مقاله این مفهوم به معنای کرنش پلاستیک معادل<sup>۷</sup> برای تشکیل واماندگی در مکانی بحرانی به کار می‌رود که همچنین می‌تواند با صرف نظر کردن از قسمت اصطکاکی در تغییر شکل‌های بزرگ آن را کرنش واماندگی<sup>۸</sup> نیز نامید. تمایل بسیاری به جای گزینی آلیاژ‌های آلومینیومی با وزن کم و استحکام بالا به جای فولادها برای کاهش آلودگی وجود دارد [1]. سری 7000 (با ترکیب آلیاژی Al-Zn-Mg-Cu) از میان رده‌های گوناگون آلیاژ‌های آلومینیوم با استحکام بالا خواص عالی چون چگالی بهنسنت کم، استحکام مشخص بالا و مقاومت خوب در برابر خوردگی را در بر داردن. آلیاژ آلومینیوم 7075-T6 مقاومت بالایی را به نسبت وزن خود نشان می‌دهد و از این رو به طور گسترهای در صنایع هوافضا مانند ساخت بال‌ها و نوک دماغه هواپیما به کار می‌رود، همچنین در تجهیزات کوهنوردی و اجزای دوچرخه به دلیل استحکام بالا و وزن کم این آلیاژ کاربرد بسیار دارد. از این‌رو بسیاری از محققان به مطالعه و بررسی رفتار مکانیکی این آلیاژ به خصوص در حوزه رفتار پلاستیک تحت شرایط مختلف پرداخته‌اند. از جمله کارهای اخیر می‌توان به تحلیل تجربی و شبیه‌سازی المان محدود صورت گرفته توسط دی چنگ چن و همکارانش اشاره کرد [2]. ایشان و همکارانش عوامل مؤثر بر شکست نرم چون تنفس، کرنش و مقدار آسیب را تحلیل کرد. معیار شکست نرم کوکرافت و لاتم<sup>۹</sup> به کار رفته در شبیه‌سازی المان محدود آن‌ها دقت بیشتری را نسبت به دیگر معیارهای شکست نشان داد.

ممکن‌آز دست دادن ظرفیت تحمل بار وابسته به فشار هیدرولاستاتیکی در نظر گرفته می‌شود، در صورتی که حالت تنفس براساس دو پارامتر تنفس هیدرولاستاتیکی و زاویه لود<sup>۱۰</sup> مشخص می‌شود. مدل میکرومکانیکی آسیب گارسون-تورگارد-نیدلمن<sup>۱۱</sup> از مدل‌های معروف آسیب که در آن پارامتر زاویه لود نادیده گرفته شده است [3]. هنگامی که مدل کردن محلی و واماندگی برای تنفس‌های سه محوره<sup>۱۲</sup> کم و تغییر شکل‌های ناشی از برش مردم نظر باشد به دلیل از قلم افتادگی پارامتر لو د پاسخ مناسبی را به دست نمی‌آورد و به همین دلیل این مدل به وسیله بسیاری از محققان توسعه یافته است. ژو [4] و نامشون و هاتچینسون [5] مدل آسیب را به روش پدیدارشناختی برای محاسبه تغییر شکل برشی و وابستگی به لود بهینه کردن. بررسی اثر حالت تنفس و پیش عملیات مکانیکی بر آسیب و رشد آن در این آلیاژ آلومینیوم مساله‌ای که در تحقیقات انجام شده مورد بررسی قرار نگرفته و کمتر به آن

<sup>1</sup> Ductile Damage<sup>2</sup> fracture<sup>3</sup> Ductile fracture<sup>4</sup>Equivalent plastic strain<sup>5</sup> Fracture strain<sup>6</sup> Cockcroft and Latham ductile fracture criterion<sup>7</sup> Lode angle<sup>8</sup> Gurson-Tvergaard-Needleman (GTN)<sup>9</sup> Stress Triaxiality

$$\epsilon_f = \epsilon_{f0} \mu_p(p) \mu_\theta(\theta_L) \quad (7)$$

$\epsilon_f$  کرنش شکست مرتع است که از آزمایش کشش در فشار جو به دست می آید و  $(\mu_p(p) \mu_\theta(\theta_L))$  بدتر ترتیب نمایان گر تابع وابسته به فشار و تابع وابسته به زاویه لود هستند که به صورت روابط (9,8) تعریف می شوند.

$$\mu_p(p) = 1 - q \ln(1 - \frac{P}{P_{lim}}) \quad (8)$$

$$\mu_\theta = \gamma + (1 - \gamma) \left( \frac{6|\theta_L|}{\pi} \right)^k \quad (9)$$

در روابط بالا  $P$  فشار هیدرواستاتیک،  $P_{lim}$  حد فشار (که در بالاتر از آن آسیب دیگر اتفاق نمی افتد)،  $\gamma$  نسبت بین کرنش شکست در بارگذاری برشی به کرنش شکست در کشش تک محوره است.  $k > 0$  ضرایب مادی هستند که باید برای هر ماده با انجام آزمایش های تجربی به دست آورده شوند.

## 2-2- مدل آغاز شکست هاسفورود-کلمب

مدل تجربی آغاز شکست هاسفورود - کلمب که مستقل از نرخ کرنش است بر این اساس فرمول بندی شده است که شکست نرم با شروع برش های محلی در مقیاس میکرو به وقوع می پیوندد [16]. براساس این مدل، شکست در کرنش پلاستیک معادل که آن را با  $\epsilon_f$  نشان می دهند زمانی اتفاق می افتد که شرط رابطه (10) برقرار باشد.

$$\int_0^{\bar{\epsilon}_f} \frac{d\bar{\epsilon}_{pl}}{\bar{\epsilon}_f^{pr}[\eta, \theta_L]} = 1 \quad (10)$$

در رابطه بالا  $\bar{\epsilon}_f$  کرنش پلاستیک معادل و  $\bar{\epsilon}_f^{pr}[\eta, \theta_L]$  کرنش شکست معادل پیش بینی وابسته به حالت تنش است. همان گونه که دیده می شود با مقایسه این رابطه و رابطه (6) می توان بیان نمود که زمانی که مقدار پارامتر آسیب  $D$  به یک می رسد شکست آغاز می شود. رابطه (11) عبارت تحلیلی را برای کرنش منتهی به شکست در مدل هاسفورود - کلمب نشان می دهد:

$$\bar{\epsilon}_f^{pr}[\eta, \theta_L] = b(1+c)^{\frac{1}{n}} + \left( \frac{1}{2} ((f_1 - f_2)^a + (f_2 - f_3)^a + (f_1 - f_3)^a) \right)^{\frac{1}{a}} + c(2\eta + f_1 + f_3) \quad (11)$$

در رابطه بالا پارامتر زاویه لود به توابع مثلثاتی رابطه (12) وابسته است.

$$f_1[\theta_L] = \frac{2}{3} \cos \left[ \frac{\pi}{6} (1 - \theta_L) \right], \quad f_2[\theta_L] = \frac{2}{3} \cos \left[ \frac{\pi}{6} (3 + \theta_L) \right], \quad f_3[\theta_L] = -\frac{2}{3} \cos \left[ \frac{\pi}{6} (1 + \theta_L) \right] \quad (12)$$

پارامترهای اصلی مادی این مدل  $a$ ,  $b$  و  $c$  هستند. توان  $a$  اثر پارامتر زاویه لود را کنترل می نماید، در حالی که ضریب  $c$ ، کنترل کننده اثر تنش سه محوره بر کرنش منتهی به شکست است. پارامتر  $b$  نیز کنترل کننده بزرگی کرنش منتهی به شکست است. پارامتر  $n$  در رابطه بالا نیز اثر کمی در کالیبره کردن مدل برای ماده دارد [17].

## 3- آزمایش های تجربی

### 3-1- پیش عملیات مکانیکی فرآیند اختشاش اصطکاکی

برای انجام پیش عملیات مکانیکی فرآیند اختشاش اصطکاکی بر ورق آلیاژ آلومینیوم 7075-T6 با مشخصات آلیاژی مطابق جدول 1 از یک قلم مخصوص مانند طرح نشان داده شده در شکل 1 که از جنس فولاد آلیاژی ساخته شده و سپس آب کاری شده است، به همراه یک نگهدارنده ورق بر

تهیه شده از ورق آلیاژ آلومینیوم 7075-T6 در حالت که بر ورق پیش عملیات فرآیند اختشاش اصطکاکی انجام پذیرفته بود و همچنین قطعات تهیه شده از ورق بدون پیش عملیات، به بررسی رفتار پلاستیک ماده و محاسبه کرنش شکست در حالت های مختلف تنش پرداخته می شود و سپس پارامترهای مادی دو مدل شکست مختلف به کمک این آزمایش ها برای حالت های مختلف با پیش عملیات و بدون آن به دست می آید و سطوح شکست براساس پارامترهای حالت تنش برای پیش بینی کرنش پلاستیک معادل منجر به شکست رسم می شوند. در نهایت به کمک این دو مدل فرآیند رشد آسیب در این ماده مورد بررسی و تحلیل قرار می گیرد.

## 2- مدل آسیب

از متغیر عددی آسیب نرم  $D$  به عنوان یک متغیر داخلی برای بیان تنزل درجه در ماده یا همان آسیب استفاده می شود. بازه تغییرات مقدار آسیب  $0 \leq D \leq 1$  است که در واقع مقدار  $D = 0$  بدان معنی است که شکست شروع شده است، در حالی که  $D = 1$  نشان دهنده آن است که شکست شروع شده است. این پارامتر به صورت نسبت کرنش پلاستیک به کرنش و امدادگی به صورت رابطه (1) تعریف می شود:

$$D = f \left( \frac{\epsilon_p}{\epsilon_f} \right) \quad (1)$$

در رابطه بالا  $\epsilon_p$  کرنش پلاستیک و  $\epsilon_f$  کرنش شکست بر مسیر بارگذاری است که وابسته به پارامترهای حالت تنش یعنی تنش سه محوره و زاویه لود است. این پارامترها به ترتیب به صورت (3,2) v,hfx تعریف می شوند [15-10].

$$\eta = \frac{\sigma_m}{\sigma_{eq}} \quad (2)$$

$$\theta_L = \tan^{-1} \left( \frac{1}{\sqrt{3}} \frac{2\sigma_2 - \sigma_1 - \sigma_3}{\sigma_1 - \sigma_3} \right) \quad (3)$$

در معادلات بالا  $\sigma_1 \geq \sigma_2 \geq \sigma_3$  تنش های اصلی هستند و  $\sigma_{eq}$  تنش میسز هستند. نرخ رابطه (1) به صورت رابطه (4) به دست می آید.

$$\dot{D} = \frac{\partial f \left( \frac{\epsilon_p}{\epsilon_f} \right)}{\partial \left( \frac{\epsilon_p}{\epsilon_f} \right)} \frac{\epsilon_p}{\epsilon_f} \quad (4)$$

در اینجا فرض شده که آسیب نرم به دلیل کرنش پلاستیک است؛ بنابراین مشتقات نسبت به  $\eta$  و زاویه  $\theta_L$  ظاهر نشده اند، زیرا  $\partial \eta / \partial \epsilon_p = 0$  و  $\partial \theta_L / \partial \epsilon_p = 0$  است. در معادله بالا  $\epsilon_f$  را به صورت رابطه (5) تعریف کرد.

$$\epsilon_f = \epsilon_f(\eta, \theta_L) \quad (5)$$

رابطه بالا نشان دهنده وابستگی کرنش شکست به پارامترهای حالت تنش است. در بارگذاری های پیچیده نمو آسیب به صورت رابطه (6) انتگرال گیری می شود.

$$D = \int \dot{D} \left( \frac{\epsilon_p}{\epsilon_f} \right) d\epsilon_p \leq 1 \quad (6)$$

در ادامه دو مدل آغاز شکست ژو و هاسفورود - کلمب بررسی و مقایسه می شوند و ضرایب مادی برای هر یک از مدل ها با کمک آزمایش های تجربی انجام شده در این تحقیق به دست می آیند.

## 2-1- مدل آغاز شکست ژو

ژو یک مدل آسیب پدیدار شناختی را ارائه داد که براساس تعريف کرنش شکست معادل به صورت تابعی از فشار  $p$  و زاویه لود  $\theta_L$  بنا شده و به صورت

مشابهای از ورق بدون پیش عملیات فرآیند اغتشاش اصطکاکی برای تعیین ضرایب مادی این آلیاژ بدون انجام پیش عملیات مکانیکی بر آن نیز استخراج می‌شود. در شکل 4 محل استخراج قطعات از ورق تحت پیش عملیات فرآیند اغتشاش اصطکاکی و یک نمونه قطعه مستخرج شده به همراه بزرگنمایی ناحیه گلوبی شدن قطعه که در ناحیه فرآیند قرار دارد نشان داده شده است.

**3-2- آزمایش‌های کشش برای تعیین ضرایب مادی مدل‌ها**  
برای انجام آزمایش‌ها قطعات نمونه‌ای با اشکال هندسی مختلف مانند شکل 5 با مشخصات هندسی مطابق جدول 3، برای ایجاد شرایط مختلف حالت تنفس، به وسیله برش و اترجت استخراج می‌شود. دلیل استفاده از واترجت برای برش قطعات پرهیز از اثرات ماشین کاری مانند تنفس‌های پسماند و آسیب‌های حاصل از ماشین کاری چون اثر شرایط سطحی در لبه‌های برش‌زده بر آغاز شکست در قطعات نمونه است [19]. قطعات مانند آزمایش‌های انجام شده در مطالعات گذشته طراحی شد [17] و از سمت چپ به ترتیب N3 بدون بریدگی در قسمت اندازه‌گیری، N2 با بریدگی به شعاع R=20mm، N1 با بریدگی به شعاع R=6.67mm و N4 با سوراخ مرکزی به قطر 8mm در قسمت اندازه‌گیری نام‌گذاری می‌شود.

همان‌گونه که پیش‌تر بیان گردید این قطعات علاوه بر استخراج از ورق اولیه، از ورق‌هایی که بر آن‌ها پیش عملیات فرآیند اغتشاش اصطکاکی انجام گردیده نیز استخراج می‌گردد. آزمایش بر تمامی قطعات با استفاده از دستگاه تست کشش سنتام<sup>1</sup> در دانشگاه آزاد اسلامی مرکز لشت نشا- زیباکنار در نرخ نرخ کنش پایین برابر با  $0.0010\text{ s}^{-1}$  تا  $0.0010\text{ s}^{-1}$  تا گسیختگی کامل انجام می‌پذیرد و نمودار نیرو- جابه‌جاوی به دست آمده از آزمایش‌ها در به دست آوردن ضرایب مادی مدل‌های بیان شده مورد استفاده قرار می‌گیرند.

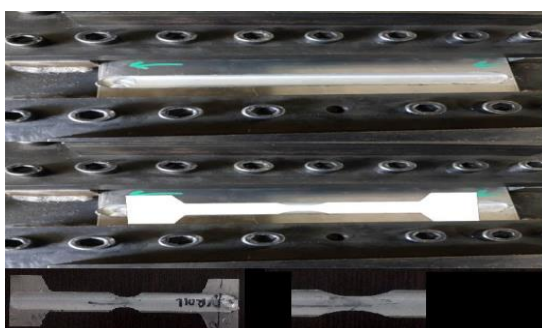


Fig. 4 Location of samples after Friction Stir Process

شکل 4 محل استخراج نمونه‌ها پس از انجام فرآیند اغتشاش اصطکاکی

جدول 3 مشخصات هندسی قطعه و شرایط آزمایش کشش

Table 3 Geometrical specification of the specimens and tensile test conditions

نرخ کرنش (1/s)	سرعت نگهدارنده متحرک دستگاه تنسٹ کشش mm/min	عرض اولیه ضخامت اولیه	ابعاد قطعه (mm)		
			در قسمت واماندگی	در قسمت نگهدارنده‌ها	
0.001	1.2		10	50	N1
			10	50	N2
			10	51	N3
			12	50	N4

<sup>1</sup> SANTAM

دستگاه فرز استفاده می‌شود (شکل 2). هندسه ابزار می‌تواند بر عواملی همچون گشتاور، اندازه نیروهای ایجادشده و میزان حرارت تولیدی هنگام فرآیند مؤثر باشد. مهم‌ترین پارامترهای هندسی، طول و قطر پین و قطر شانه است. طول پین بستگی به ضخامت لایه‌ای از سطح قطعه کار دارد که قرار است ساختار آن اصلاح شود. قطر شانه معمولاً در محدوده دو تا چهار برابر قطر پین در نظر گرفته می‌شود [18]. در این قلم طول 18mm و قطر پین بدتر تیپ 5mm و قطر شانه برابر 18mm و عمق فرورفتگی قلم در ورق 1.5 mm است، همچنین شیارهای روی بدنه قلم برای خنک‌کاری بهتر قلم به آن اضافه شده است.

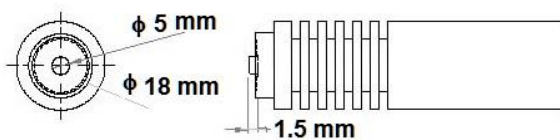
این آزمایش‌ها بر ورق به ضخامت 2 میلی‌متر انجام می‌شود و پیش عملیات فرآیند اغتشاش اصطکاکی با شرایط جدول 2 روی ورق مورد اشاره پیاده‌سازی می‌شود (شکل 3).

برای تعیین ضرایب مادی مدل‌ها از ورق‌هایی که فرآیند پیش عملیات فرآیند اغتشاش اصطکاکی بر آن‌ها انجام شده است، باید پس از انجام این فرآیند نمونه‌هایی با مشخصات هندسی خاص که در بخش بعد به آن پرداخته می‌شود، برای انجام آزمایش‌های بعدی استخراج شود. البته نمونه‌های

جدول 1 ترکیب شیمیایی (درصد وزنی) آلیاژ AL-7075-T6

Table 1 Chemical composition (wt%) of AL-7075-T6 alloy

Zn	Mg	Cu	Mn	Fe	Si	Cr	Ti	Others, total	Al
5.6	2.5	1.6	0.3	0.5	0.4	0.23	0.2	0.15	Balance



شکل 1 ابزار فرآیند اغتشاش اصطکاکی

شکل 2 آماده‌سازی دستگاه برای فرآیند اغتشاش اصطکاکی



شکل 2 آماده‌سازی دستگاه برای فرآیند اغتشاش اصطکاکی

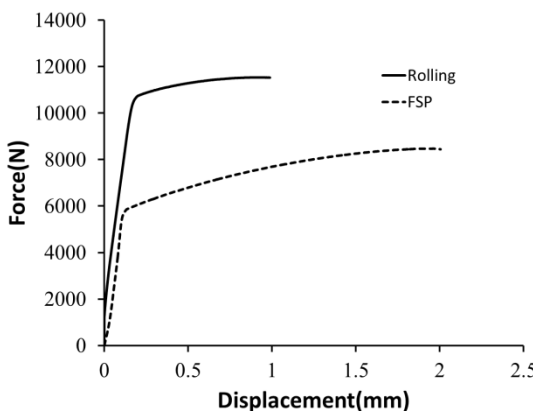
جدول 2 شرایط پیش عملیات مکانیکی فرآیند اغتشاش اصطکاکی

Table 2 Condition of Pre-mechanical Friction Stir Process

سرعت پیش روی rpm	زاویه شب قلم °	سرعت چرخش قلم mm/min	زاویه شب قلم °
0	450	45	

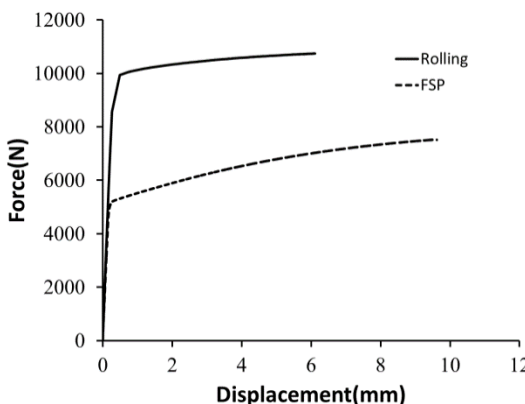


شکل 3 مراحل انجام فرآیند اغتشاش اصطکاکی



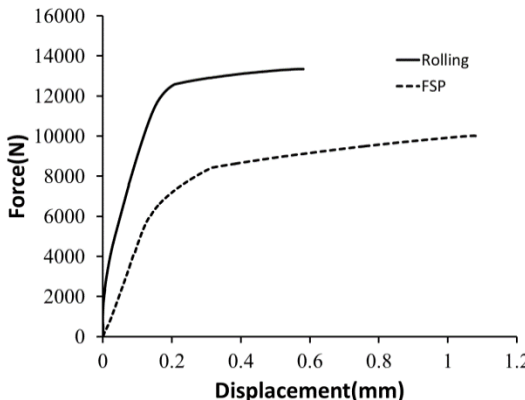
**Fig.7** Force-Displacement curve at conditions with and without pre-mechanical Friction Stir Process for sample N2

شکل 7 نمودار نیرو-جایه جایی در شرایط بدون و با پیش عملیات مکانیکی فرآیند اغتشاش اصطکاکی برای قطعه N2



**Fig.8** Force-Displacement curve at conditions with and without pre-mechanical Friction Stir Process for sample N3

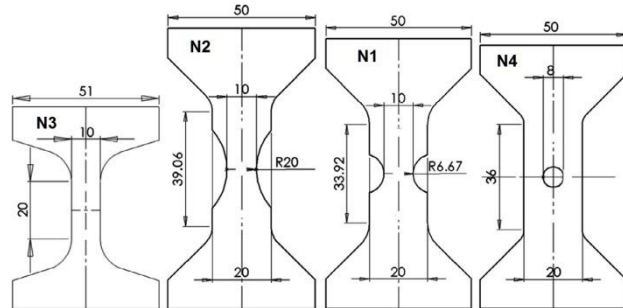
شکل 8 نمودار نیرو-جایه جایی در شرایط بدون و با پیش عملیات مکانیکی فرآیند اغتشاش اصطکاکی برای قطعه N3



**Fig.9** Force-Displacement curve at conditions with and without pre-mechanical Friction Stir Process for sample N4

شکل 9 نمودار نیرو-جایه جایی در شرایط بدون و با پیش عملیات مکانیکی فرآیند اغتشاش اصطکاکی برای قطعه N4

**4- به دست آوردن ضرایب مادی مدل های آغاز شکست**  
با توجه به این که مدل های آغاز شکست به حالت تنش وابسته هستند و  
حالاتی تنش دارای گستره وسیعی است، نمی توان برای تمامی حالاتی  
تنش آزمایش های تجربی انجام داد؛ بنابراین قطعات و آزمایش های مرتبط با



**Fig.5** Specimens for experiments

شکل 5 قطعات نمونه طراحی شده برای آزمایش کشش

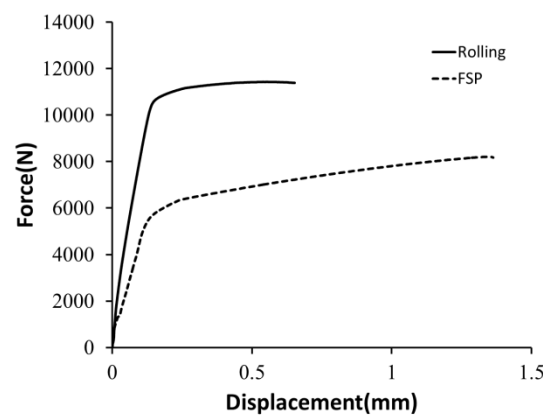
#### 4- بحث و نتایج

در این بخش ابتدا به بررسی نتایج بدست آمده از آزمونهای کشش پرداخته می شود و سپس با استفاده از نتایج تجربی بدست آمده ضرایب مادی هر کدام از مدل های شکست بیان شده استخراج می شود و به کمک این ضرایب سطوح پیش بین گرنش شکست بر حسب پارامترهای حالت تنش برای ورق اولیه و همچنین ورق تحت پیش عملیات فرآیند اغتشاش اصطکاکی بر حسب هر دو مدل آغاز شکست رسم می گردد و در نهایت به کمک این پوش ها به بررسی آسیب نرم و رشد آن برای این آلیاژ پرداخته می شود.

##### 4-1- نتایج آزمون های کشش

در شکل های 6-9 نمودارهای بدست آمده برای هریک از هندسه های مشخص شده در شکل 5 تحت شرایط بدون پیش عملیات و با پیش عملیات مکانیکی فرآیند اغتشاش اصطکاکی با یکدیگر مقایسه می شوند.

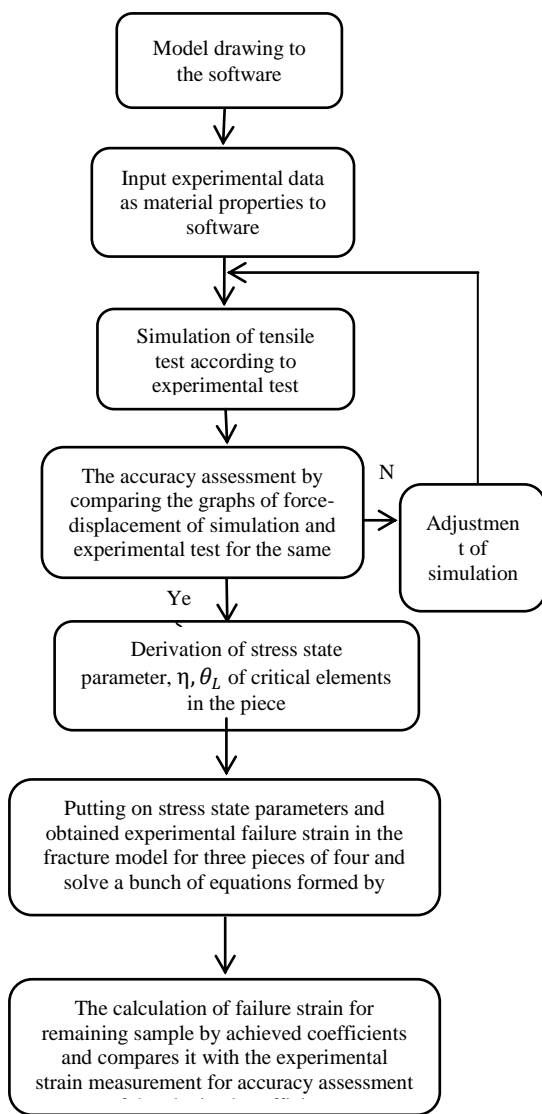
همان طور که از نمودارها پیداست پیش عملیات فرآیند اغتشاش اصطکاکی سبب کاهش نیرو و افزایش جایه جایی در آزمایش کشش در ماده می شود؛ بنابراین به خوبی مشهود است در صورتی که برای ماده اولیه ای ضرایب یک مدل آغاز شکست مانند مدل های بیان شده در بخش های پیشین به دست آمده باشند، پس از انجام پیش عملیاتی مانند فرآیند اغتشاش اصطکاکی نیز ضروری است پارامترهای مادی مدل آغاز شکست دوباره محاسبه شوند تا در هنگام استفاده از این مدل ها در محاسباتی چون آسیب نرم و یا شبیه سازی ها بهترین نتایج حاصل شود.



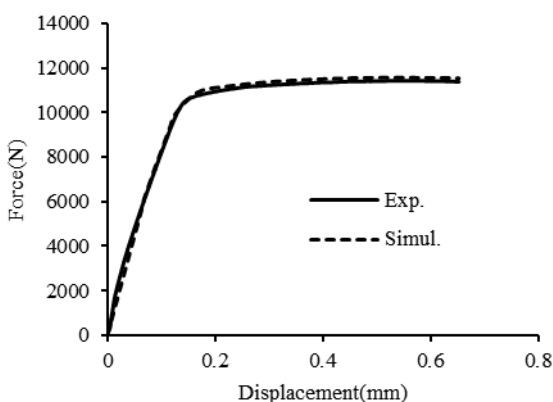
**Fig.6** Force-Displacement curve at conditions with and without pre-mechanical Friction Stir Process for sample N1

شکل 6 نمودار نیرو-جایه جایی در شرایط بدون و با پیش عملیات مکانیکی فرآیند اغتشاش اصطکاکی برای قطعه N1

برای هر یک از مدل‌ها براساس پارامترهای حالت تنش و کرنش شکست به دست آمده می‌توان ضرایب مادی هر مدل را در حالت بدون پیش عملیات و با پیش عملیات مکانیکی فرآیند اغتشاش اصطکاکی به دست آورد. یک سطح



**Fig.10** An algorithm to obtain the fracture initiation model coefficients  
**شکل 10** الگوریتم به دست آوردن ضرایب مدل آغاز شکست



**Fig.11** Force-displacement curve compare between simulation and experimental for sample N4  
**شکل 11** مقایسه بین نمودار نیرو-جایه‌جایی شبیه‌سازی و تجربی برای قطعه N4

آن‌ها باید طوری طراحی و برنامه‌ریزی گردند که بتوان حالت‌های تنش مختلف را با کمترین تعداد آزمایش‌ها ایجاد کرد. با انجام آزمایش بر قطعات با حالت تنش مختلف می‌توان کرنش شکست مربوط به آن حالت تنش را به دست آورد و با قرار دادن این مقادیر در معادله مدل آغاز شکست می‌توان یک دستگاه معادلات جبری غیر خطی ایجاد کرد که با حل آن مقادیر ضرایب مادی هر مدل به دست می‌آید. برای به دست آوردن حالت تنش هر قطعه یا به عبارتی مقادیر پارامتر زاویه لود و تنش سه محوره در ناحیه شکست باید از روش هیبریدی یعنی ترکیب شبیه‌سازی المان محدود و داده‌های تجربی بهره برد. برای این امر با استفاده از نرم‌افزار المان محدود آباکوس<sup>1</sup> نسخه 6.14 آزمایش کشش قطعات طراحی شده شبیه‌سازی می‌شوند و از داده‌های تجربی به دست آمده از آزمایش‌ها برای هر قطعه به عنوان خواص و رودی ماده استفاده می‌شود. از المان C3D8R برای مشبندی نمونه استفاده شده است. برای دقت نتیجه نهایی و استقلال از مشبندی، چندین پاسخ از شبیه‌سازی مورد بررسی قرار گرفت تا منجر به همگرایی نتایج شود و در نهایت المان‌بندی با اندازه مش 0.0005 برگزیده شد. از نتایج شبیه‌سازی انجام شده می‌توان پارامترهای حالت تنش هر قطعه را به دست آورد. مراحل وردن ضرایب مدل شکست در شکل 10 به صورت یک الگوریتم بیان شده است.

جهت صحتسنجی شبیه‌سازی انجام شده می‌توان نمودار نیرو-جایه‌جایی به دست آمده از شبیه‌سازی را با نمودار نیرو-جایه‌جایی تجربی همان قطعه مقایسه کرد. به عنوان نمونه در شکل 11 این مقایسه برای قطعه N1 برای حالت بدون پیش عملیات مکانیکی صورت می‌پذیرد. پیش از به دست آوردن ضرایب مادی مدل‌های آغاز شکست به بررسی تغییرات پارامترهای حالت تنش برای قطعات مختلف در شرایط بدون پیش عملیات مکانیکی و با پیش عملیات مکانیکی فرآیند اغتشاش اصطکاکی در طی مسیر بارگذاری پرداخته می‌شود.

#### 2-4-1- مسیر بار<sup>2</sup> تا شکست

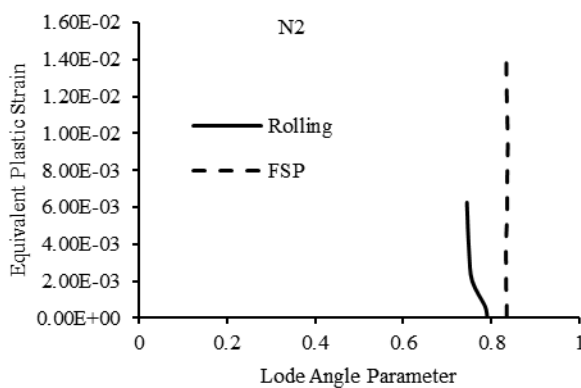
از عبارت مسیر بار به شکست جهت اشاره به سیر تکاملی میدان مکانیکی و حالت متغیرها در محل آغاز شکست نرم<sup>3</sup> استفاده می‌شود به ویژه زمانی که بررسی سیر تکاملی کرنش پلاستیک معادل<sup>4</sup> به عنوان تابعی از تنش سه محوره  $\theta_1$  و پارامتر زاویه لود  $\theta_2$  مدنظر است. شکل 12-17 نشان‌دهنده مسیر بار به شکست برحسب کرنش پلاستیک معادل تنش سه محوره و پارامتر زاویه لود برای قطعات N1, N2, N3 و N4 در حالت‌های بدون پیش عملیات و با پیش عملیات مکانیکی فرآیند اغتشاش اصطکاکی است. در این شکل‌ها سیر تکاملی کرنش پلاستیک معادل برای هر کدام از قطعات برای ماده آلیاژ آلومینیوم 7075-T6 رسماً می‌شود. تنش سه محوره با کاهش پارامتر زاویه لود افزایش می‌یابد و همچنین پیش عملیات فرآیند اغتشاش اصطکاکی سبب افزایش کرنش پلاستیک معادل در ماده می‌شود. همان‌طور که از این نمودارها پیداست در قطعات مختلف پارامترهای حالت تنش دارای مقادیر متفاوت و کرنش معادل پلاستیک برای هر حالت تنش نیز متفاوت است و این نشان‌دهنده اهمیت پارامترهای حالت تنش در رفتار این ماده به خصوص در کرنش پلاستیک منجر به شکست است.

2-4-2- ضرایب مادی مدل‌های آغاز شکست و رسماً پوش شکست در هر قطعه با تشکیل و حل دسته معادلات جبری غیرخطی به دست آمده

<sup>1</sup> ABAQUS 6.14

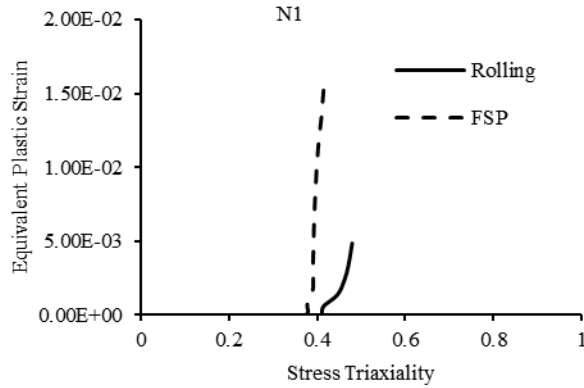
<sup>2</sup> Loading Paths

<sup>3</sup> Ductile Fracture



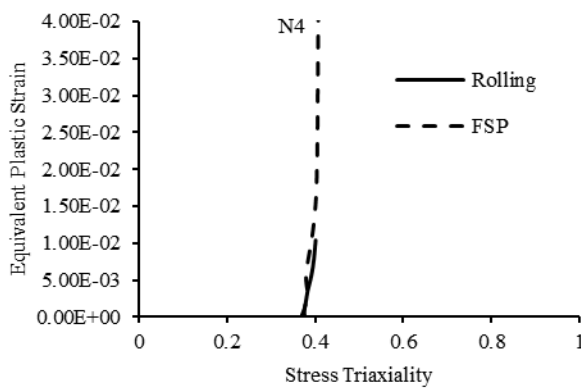
**Fig.15** the equivalent plastic strain as a function of the stress Lode angle in Loading paths to fracture for specimens N2

شکل ۱۵ نمودار کرنش پلاستیک معادل بر حسب زاویه لود در مسیر بار تا شکست برای قطعه N2



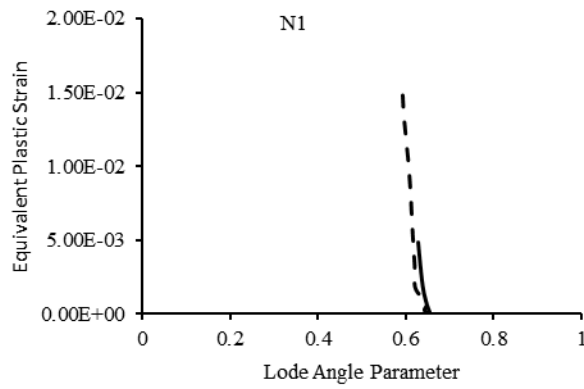
**Fig.12** the equivalent plastic strain as a function of the stress triaxiality in Loading paths to fracture for specimens N1

شکل ۱۲ نمودار کرنش پلاستیک معادل بر حسب تنش سه محوره در مسیر بار تا شکست برای قطعه N1



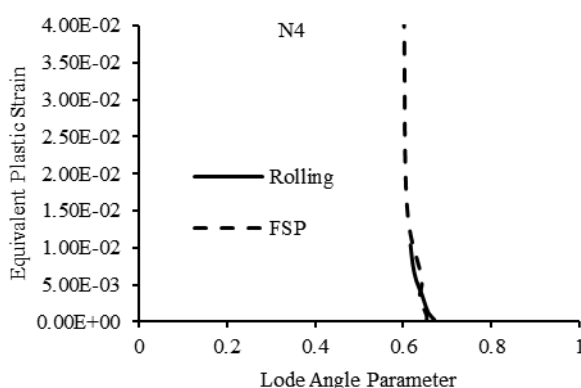
**Fig.16** the equivalent plastic strain as a function of the stress triaxiality in Loading paths to fracture for specimens N4

شکل ۱۶ نمودار کرنش پلاستیک معادل بر حسب تنش سه محوره در مسیر بار تا شکست برای قطعه N4



**Fig.13** the equivalent plastic strain as a function of the stress Lode angle in Loading paths to fracture for specimens N1

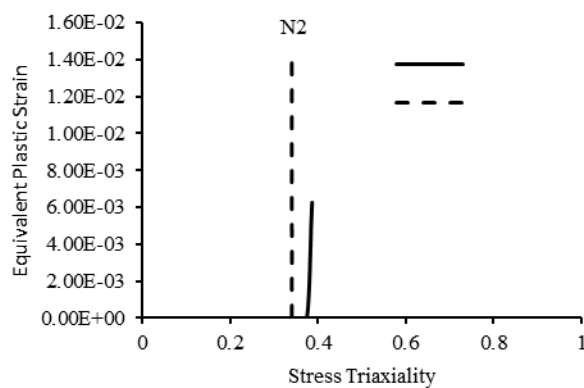
شکل ۱۳ نمودار کرنش پلاستیک معادل بر حسب زاویه لود در مسیر بار تا شکست برای قطعه N1



**Fig.17** the equivalent plastic strain as a function of the stress Lode angle in Loading paths to fracture for specimens N4

شکل ۱۷ نمودار کرنش پلاستیک معادل بر حسب زاویه لود در مسیر بار تا شکست برای قطعه N4

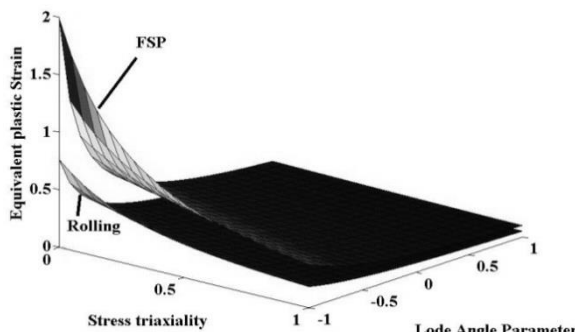
رشد آن پرداخت.  
در جدول ۴ ضرایب بدست آمده برای مدل آغاز شکست ژو در حالت های بدون پیش عملیات و با پیش عملیات مکانیکی فرآیند اغتشاش اصطکاکی



**Fig.14** the equivalent plastic strain as a function of the stress triaxiality in Loading paths to fracture for specimens N2

شکل ۱۴ نمودار کرنش پلاستیک معادل بر حسب تنش سه محوره در مسیر بار تا شکست برای قطعه N2

شکست پیش‌بین بر حسب پارامترهای حالت تنش را با داشتن ضرایب مادی مدل می‌توان رسم کرد، با کمک آن می‌توان در هر حالت تنشی کرنش شکست معادل آن را پیش‌بینی کرد و با کمک آن به بررسی آسیب نرم و



**Fig.19** Hosford-Coulomb fracture surfaces for pre-mechanical Working and without it in the space of stress triaxiality, Lode angle parameter and equivalent plastic strain

شکل 19 سطح شکست هاسفورود کلومب برای شرایط پیش عملیات مکانیکی و بدون آن در فضای تنش سه محوره، زاویه لود و کرنش پلاستیک معادل

جدول 6 مقایسه مقادیر کرنش شکست پیش‌بینی شده از مدل‌های آغاز شکست ژو و هاسفورود-کلومب با مقادیر تجربی به دست آمده برای چهار نمونه را نشان می‌دهد.

#### 3-4- بررسی آسیب نرم و رشد آن در ماده آلومینیوم 7075-T6

همان‌طور که در رابطه (1) بیان شد آسیب نرم را می‌توان به صورت تابعی از نسبت کرنش پلاستیک به کرنش شکست در همان حالت تنش بیان کرد. یکی از توابع پیشنهادی برای آسیب به صورت رابطه (13) است [4].

$$D = f \left( \frac{\varepsilon_p}{\varepsilon_f} \right) = \left( \frac{\varepsilon_p}{\varepsilon_f} \right)^m \quad (13)$$

که در این رابطه  $\varepsilon_f$  کرنش شکست وابسته به حالت تنش است که براساس یکی از دو مدل آغاز شکست مطرح شده در همان حالت تنش ماده پیش‌بینی می‌شود و  $m$  پارامتر رشد آسیب در ماده است که باید برای شرایط مختلف پیش‌عملیات مکانیکی فرآیند اغتشاش اصطکاکی و بدون پیش‌عملیات مکانیکی برای ماده براساس مدل آغاز شکست به کار برد شده به دست آید. با توجه به تعریف حدود آسیب، مقدار این ضریب باید به گونه‌ای به دست آید که در هنگام شکست ماده پارامتر آسیب به 1 نزدیک باشد. جدول 7 ضریب مادی  $m$  به دست آمده برای ماده آلیاژ آلومینیوم 7075-T6 را برای حالت بدون پیش‌عملیات و با پیش‌عملیات مکانیکی فرآیند اغتشاش اصطکاکی برای دو مدل آغاز شکست ژو و هاسفورود-کلومب نشان می‌دهد.

#### جدول 6 مقایسه کرنش شکست پیش‌بینی و تجربی برای آلیاژ AL-7075-T6

**Table 6** Comparing between predicted and experimental Fracture strain of AL-7075-T6 alloy

آزمایش تجربی	مدل هاسفورود-						کرنش شکست
	کلومب			مدل ژو			
N	N	N	N	N	N	N	برحسب
4	3	2	1	4	3	2	بدون پیش‌عملیات
0.0104	0.0826	0.00625	0.00486	0.0163	0.0901	0.00668	فرآیند اغتشاش اصطکاکی
0.158	0.229	0.013832	0.0157	0.183	0.290	0.0196	با پیش‌عملیات
						0.0202	فرآیند اغتشاش اصطکاکی
						0.139	
						0.207	
						0.0121	
						0.0145	
						0.00437	

**جدول 4** ضرایب مادی مدل آغاز شکست ژو برای آلیاژ AL-7075-T6

**Table 4** Material parameters of Xue fracture initiation model of AL-7075-T6 alloy

ضرایب مادی مدل		
0.2	2.3	0.9
0.6	1.8	0.5

نشان داده می‌شود.

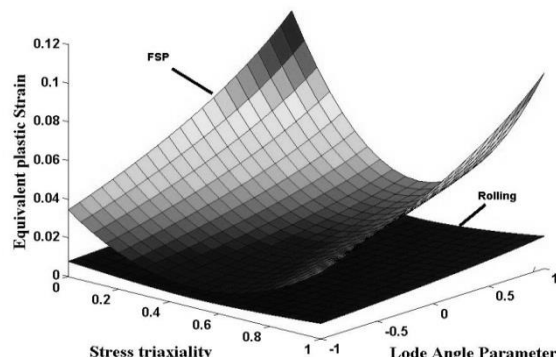
در شکل 18 سطح پیش‌بینی کرنش شکست بر حسب پارامترهای حالت تنش براساس ضرایب به دست آمده برای مدل آغاز شکست ژو در حالت‌های بدون پیش‌عملیات و با پیش‌عملیات مکانیکی فرآیند اغتشاش اصطکاکی نشان داده می‌شود. در جدول 5 ضرایب به دست آمده برای مدل آغاز شکست هاسفورود-کلمب در حالت‌های بدون پیش‌عملیات و با پیش‌عملیات مکانیکی فرآیند اغتشاش اصطکاکی نشان داده می‌شود.

با توجه به تأثیر بسیار اندک پارامتر  $n$  مقدار آن در هر دو حالت برابر 0.1 در نظر گرفته می‌شود [17]. در شکل 19 سطح پیش‌بینی کرنش شکست بر حسب پارامترهای حالت تنش براساس ضرایب به دست آمده برای مدل آغاز شکست هاسفورود-کلمب در حالت‌های بدون پیش‌عملیات و با پیش‌عملیات مکانیکی فرآیند اغتشاش اصطکاکی نشان داده می‌شود. سطح شکست پیش‌بینی نیز کرنش پلاستیک معادل برای یک حالت تنش مشخص همان‌طور که از نتایج تجربی نیز به دست آمده در زمانی که پیش‌عملیات مکانیکی فرآیند اغتشاش اصطکاکی برای ماده آلومینیوم 7075 انجام می‌بزیرد را بیشتر از حالت بدون پیش‌عملیات نشان می‌دهد و با توجه به این که مطابق رابطه (1) آسیب تابعی از کرنش شکست است، می‌توان نتیجه گرفت که انجام پیش‌عملیات مکانیکی بر آسیب نرم و رشد آن بسیار مؤثر است. در بخش بعد به بررسی آسیب نرم و رشد آن در این ماده پرداخته می‌شود.

**جدول 5** ضرایب مادی مدل آغاز شکست هاسفورود-کلمب برای آلیاژ AL-7075-T6

**Table 5** Material parameters of Hosford-Coulomb fracture initiation model of AL-7075-T6 alloy

ضرایب مادی مدل		
1.7	0.1	1.5
1.9	0.2	1.8



**Fig.18** Xue fracture surfaces for pre-mechanical Working and without it in the space of stress triaxiality, Lode angle parameter and equivalent plastic strain

شکل 18 سطح شکست ژو برای شرایط پیش‌عملیات مکانیکی و بدون آن در فضای نشان سه محوره، زاویه لود و کرنش پلاستیک معادل

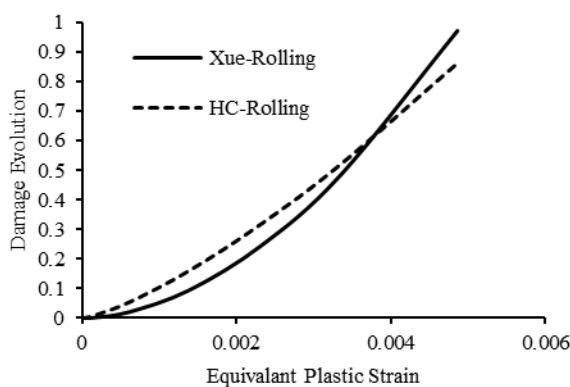


Fig.20 damage evolution versus Equivalent Plastic Strain by Xue and Hosford-Coulomb models for specimen N1.

شکل 20 رشد آسیب بر حسب کرنش پلاستیک معادل براساس مدل  $\varphi$  و مدل هاسفورد-کلومب برای قطعه N1

کرنش پلاستیک در ماده کاهش می‌یابد و یا به عبارتی شکست در ماده در کرنش‌های بزرگتری اتفاق می‌افتد، همچنین با آزمایش بر قطعات مختلف وابستگی آسیب به حالت تنش نشان داده می‌شود که این وابستگی در مدل آغاز کرنش شکست بیان می‌شود. با بدست آوردن ضرایب مادی دو مدل آغاز شکست  $\varphi$  و هاسفورد-کلومب می‌توان مقادیر کرنش شکست را برای تمامی حالت‌های تنش پیش‌بینی کرد. در مقایسه بین دو مدل آغاز شکست  $\varphi$  و هاسفورد-کلومب دیده می‌شود که مقادیر آسیب به دست آمده بر حسب مدل آغاز شکست  $\varphi$  دارای دقت بهتری نسبت به مدل هاسفورد-کلومب است و در نتیجه می‌توان بیان کرد با توجه به مقدار آسیب نرم در هنگام شکست که برابر 1 است می‌توان از مدل آسیب به دست آمده براساس مدل آغاز شکست  $\varphi$  و با دقت قابل قبولی محل شکست در ماده آلیاژ آلمینیوم 7075-T6 را در حالت تنش‌های مختلف و در شیوه‌سازی‌ها تعیین کرد.

## 6- مراجع

- [1] J. Immarigeon, R. Holt, A. Koul, L. Zhao, W. Wallace, J. Beddoes, Lightweight materials for aircraft applications, *Materials Characterization*, Vol. 35, No. 1, pp. 41-67, 1995.
- [2] D.-C. Chen, C.-S. You, F.-Y. Gao, Analysis and experiment of 7075 aluminum alloy tensile test, *Proceedings of The 11th International Conference on Technology of Plasticity*, Nagoya, Japan, October 19-24, 2014.
- [3] V. Tvergaard, A. Needleman, Analysis of the cup-cone fracture in a round tensile bar, *Acta metallurgica*, Vol. 32, No. 1, pp. 157-169, 1984.
- [4] L. Xue, Constitutive modeling of void shearing effect in ductile fracture of porous materials, *Engineering Fracture Mechanics*, Vol. 75, No. 11, pp. 3343-3366, 2008.
- [5] K. Nahshon, J. Hutchinson, Modification of the Gurson model for shear failure, *Mechanics-A/Solids*, Vol. 27, No. 1, pp. 1-17, 2008.
- [6] K. L. Nielsen, Ductile damage development in friction stir welded aluminum (AA2024) joints, *Engineering Fracture Mechanics*, Vol. 75, No. 10, pp. 2795-2811, 2008.
- [7] K. L. Nielsen, V. Tvergaard, Effect of a shear modified Gurson model on damage development in a FSW tensile specimen, *International Journal of Solids and Structures*, Vol. 46, No. 3, pp. 587-601, 2009.
- [8] G.-Q. Sun, F.-Y. Sun, F.-L. Cao, S.-J. Chen, M. E. Barkey, Numerical simulation of tension properties for al-cu alloy friction stir-welded joints with GTN damage model, *Journal of Materials Engineering and Performance*, Vol. 24, No. 11, pp. 4358-4363, 2015.
- [9] F. Hannard, A. Simar, T. Pardoen, Effect of friction stir processing on the damage resistance of 6xxx series aluminium alloys, *International Conference on Processing & Manufacturing of Advanced Materials Processing, Fabrication, Properties, Applications Thermec 2016*.
- [10] R. O. Davis, A. P. Selvadurai, *Plasticity and geomechanics*, Second Edition, pp. 53-58, New York: Cambridge university press, 2005.
- [11] L. Xue, *Ductile fracture modeling-theory, experimental investigation and numerical verification*, PhD Thesis, Department of Mechanical Engineering, Massachusetts Institute of Technology, Massachusetts, 2007.
- [12] W.-F. Chen, D.-J. Han, *Plasticity for structural engineers*, pp. 46-72 Fort Lauderdale: J. Ross Publishing, 2007.

جدول 7 ضریب رشد آسیب مادی برای آلیاژ AL-7075-T6

Table 7 Material parameters of Damage Evolution of AL-7075-T6 alloy

مدل کرنش آغاز شکست بر حسب هاسفورد-کلومب	مدل $\varphi$	ضرایب مادی مدل $m$
بدون پیش عملیات فرآیند اغتشاش اصطکاکی	1.3	1.8
با پیش عملیات فرآیند اغتشاش اصطکاکی	1.1	1.2

جدول 8 مقدار پارامتر آسیب D به دست آمده برای هر قطعه براساس مدل‌های  $\varphi$  و هاسفورد-کلومب برای ماده آلیاژ آلمینیوم 7075-T6 در شرایط بدون پیش عملیات و با پیش عملیات مکانیکی فرآیند اغتشاش اصطکاکی را در لحظه آغاز شکست نشان می‌دهد.

براساس نتایج مندرج در جدول 8 مقدار پارامتر آسیب که بر حسب مدل آغاز شکست  $\varphi$  به دست آمده‌اند مقادیر نزدیک‌تری به مقدار 1 را نشان می‌دهند، هر چند اختلاف مقادیر آسیب به دست آمده بر حسب دو مدل ناچیز است، اما با توجه به این که مدل‌های بیان شده بتوانند کرنش آغاز شکست در حالت‌های تنش دیگری را نیز به غیر از حالت‌های تنش به دست آمده توسط قطعات آزمایش شده پیش‌بینی کنند، می‌توان بیان کرد که مدل  $\varphi$  و دارای قابلیت اعتماد بیشتری برای محاسبه مقادیر آسیب انباسته در ماده و در نتیجه پیش‌بینی شکست در ماده است.

همچنین با رسم روند رشد آسیب بر حسب کرنش پلاستیک معادل مانند نمودار رسم شده برای قطعه N1 در حالت بدون پیش عملیات مطابق شکل 20 دیده می‌شود که شبیه مقادیر آسیب به دست آمده بر حسب مدل  $\varphi$  در ابتدا کم بوده و با نزدیک شدن به کرنش شکست این شبیه افزایش پیدا می‌کند که این امر با توجه به این که با نزدیک شدن به ناحیه ناپایداری و شکست رشد آسیب انباسته در ماده بیشتر و سریع‌تر می‌شود [17] به خوبی هم‌خوانی دارد، اما در مدل هاسفورد-کلومب این شبیه تقریباً ثابت است.

## 5- نتیجه‌گیری

همان‌طور که از نتایج آزمون کشش مشخص است با انجام پیش عملیات مکانیکی فرآیند اغتشاش اصطکاکی بر ماده، مقادیر کرنش در آزمایش کشش به مقدار چشم‌گیری افزایش می‌یابد که این موضوع نشان‌دهنده بهبود کرنش شکست ماده نسبت به حالت بدون پیش عملیات است، همچنین مقادیر تنش تسلیم و نهایی در ماده نیز کاهش می‌یابد. با توجه به تعریف آسیب نرم و نتایج آزمایشگاهی به دست آمده می‌توان نتیجه گرفت که رشد آسیب پس از انجام پیش عملیات مکانیکی فرآیند اغتشاش اصطکاکی به دلیل افزایش

جدول 8 مقدار آسیب برای آلیاژ AL-7075-T6 در لحظه آغاز شکست

Table 7 value of damage at fracture initiation for AL-7075-T6 alloy

آسیب به دست آمده از مدل شکست			
نام قطعه	N4	N2	N1
ژو بدون پیش عملیات فرآیند اغتشاش اصطکاکی	0.982	0.990	0.972
هاسفورد-کلومب بدون پیش عملیات فرآیند اغتشاش اصطکاکی	0.811	0.811	0.862
ژو با پیش عملیات فرآیند اغتشاش اصطکاکی	0.982	0.987	0.980
هاسفورد-کلومب با پیش عملیات فرآیند اغتشاش اصطکاکی	0.881	0.851	0.895

- Hosford-Coulomb model for predicting ductile fracture initiation at low stress triaxialities, *Solids and Structures*, Vol. 67, pp. 40-55, 2015.
- [17] C. C. Roth, D. Mohr, Effect of strain rate on ductile fracture initiation in advanced high strength steel sheets: Experiments and modeling, *Plasticity*, Vol. 56, No. 5, pp. 19-44, 2014.
- [18] R. S. Mishra, Z. Ma, Friction stir welding and processing, *Materials Science and Engineering: R: Reports*, Vol. 50, No. 1, pp. 1-78, 2005.
- [19] M. Dunand, D. Mohr, Hybrid experimental-numerical analysis of basic ductile fracture experiments for sheet metals, *Solids and Structures*, Vol. 47, No. 9, pp. 1130-1143, 2010.
- [13] N. S. Ottosen, M. Ristinmaa, *The mechanics of constitutive modeling*, pp. 27-33, Amesterdam: Elsevier, 2005.
- [14] M. Luo, T. Wierzbicki, Numerical failure analysis of a stretch-bending test on dual-phase steel sheets using a phenomenological fracture model, *Solids and Structures*, Vol. 47, No. 22, pp. 3084-3102, 2010.
- [15] Y. Bai, T. Wierzbicki, Forming severity concept for predicting sheet necking under complex loading histories, *Mechanical Sciences*, Vol. 50, No. 6, pp. 1012-1022, 2008.
- [16] D. Mohr, S. J. Marcadet, Micromechanically-motivated phenomenological